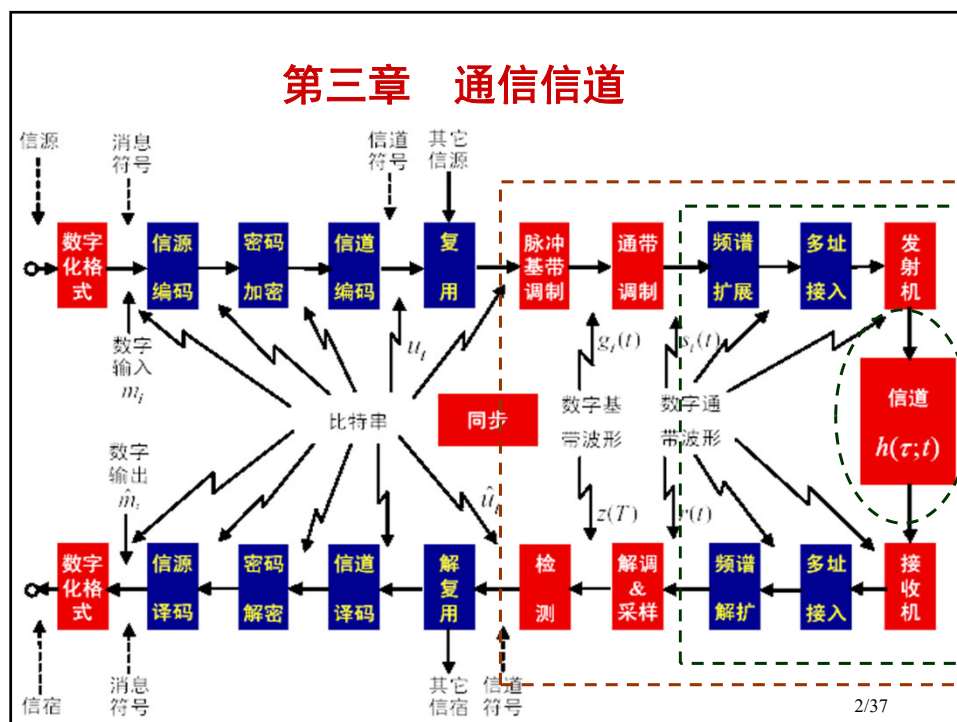


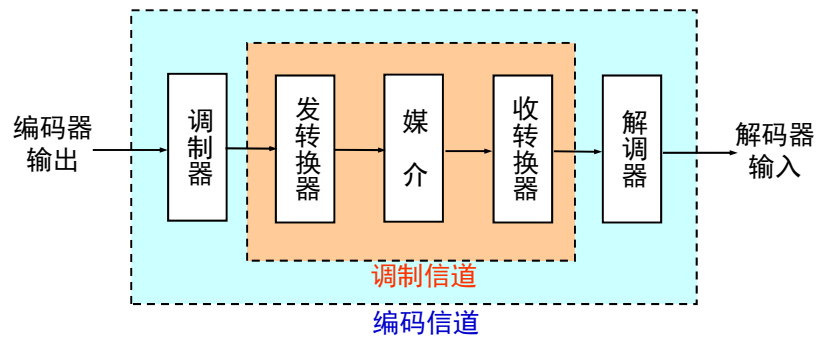
通信原理 (甲)

第3章 通信信道 (1)



§ 3.1 通信信道的定义和数学模型

一、通信信道的定义



3/37

二、信道模型

1、调制信道模型

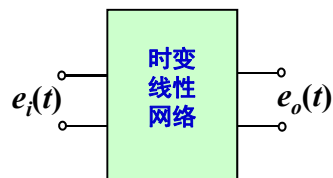
- 共性 {
- ① 有一对（或多对）输入，有一对（多对）输出；
 - ② 许多信道是线性的，满足迭加原理；
 - ③ 信号通过信道有时间延迟，受到（固定或时变）损耗；
 - ④ 受到加性噪声影响；

单输入、单输出线性信道，

$$e_o(t) = f[e_i(t)] + n(t)$$

如 $e_o(t) = V_1(t) \cdot e_i(t) + n(t)$

或 $e_o(t) = h(\tau; t) \otimes e_i(t) + n(t)$



4/37

多输入、多输出线性信道

$$e_{ol}(t) = f_l[e_{i1}(t), e_{i2}(t), \dots, e_{iM}(t)] + n_l(t)$$

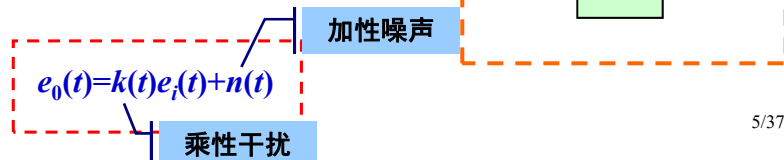
$$l = 1, 2, \dots, N$$

如 $e_{ol}(t) = \sum_{k=1}^M a_{k,l}(t) e_{ik}(t) + n_l(t),$

$$l = 1, 2, \dots, N$$

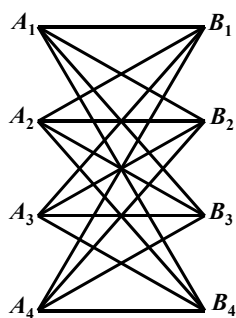
或 $e_{ol}(t) = \sum_{k=1}^M h_{k,l}(\tau; t) \otimes e_{ik}(t) + n_l(t),$

$$l = 1, 2, \dots, N$$

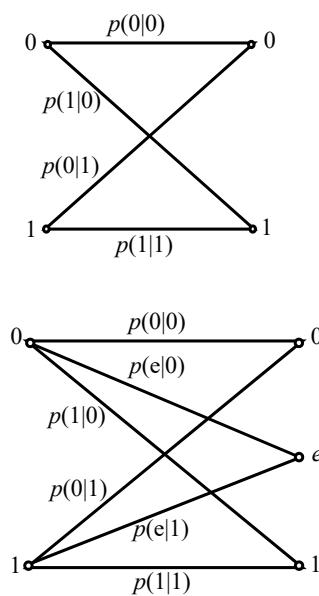


5/37

2、编码信道模型

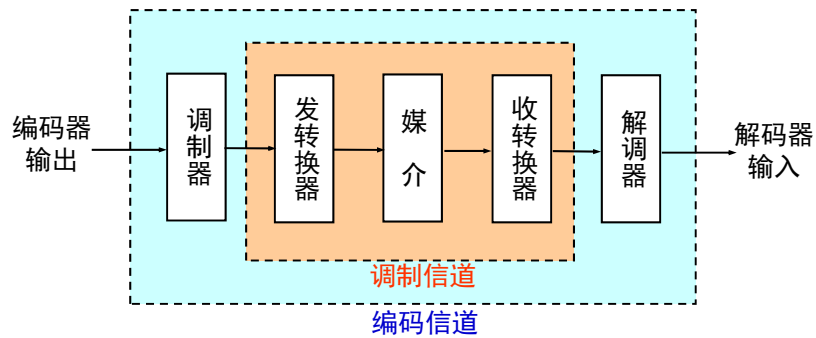


符号转移概率



6/37

编码信道与调制信道间的关系



- 调制信道是编码信道的一部分
- 编码信道的性能很大程度上是由调制信道决定

7/37

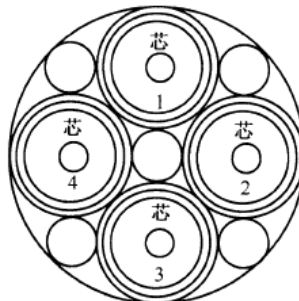
§ 3.2 恒参信道及其特征

$$e_0(t) = k(t)e_i(t) + n(t)$$

信道参数在通信过程中基本不随时间变化的信道称为恒参信道。

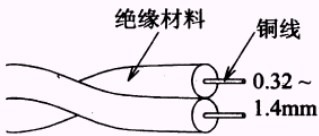
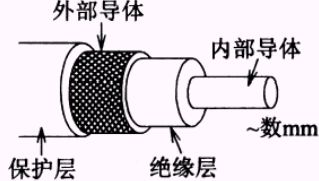
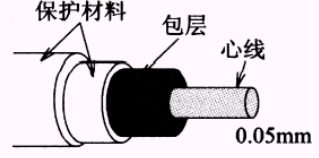
① 有线信道：

如明线，对称电缆，同轴电缆，光纤信道。

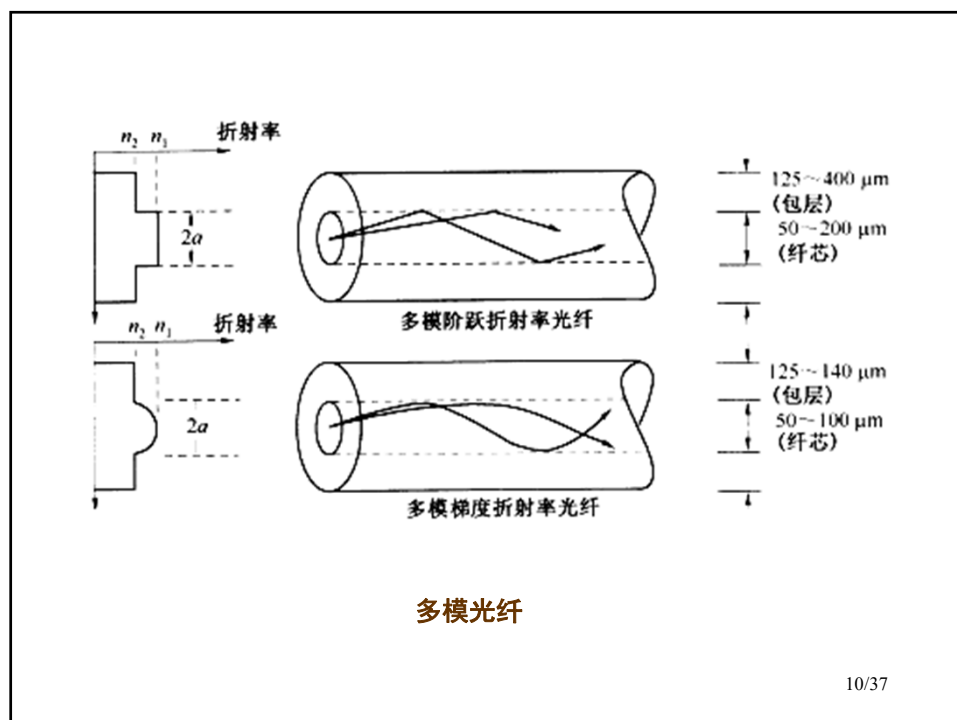


同轴电缆

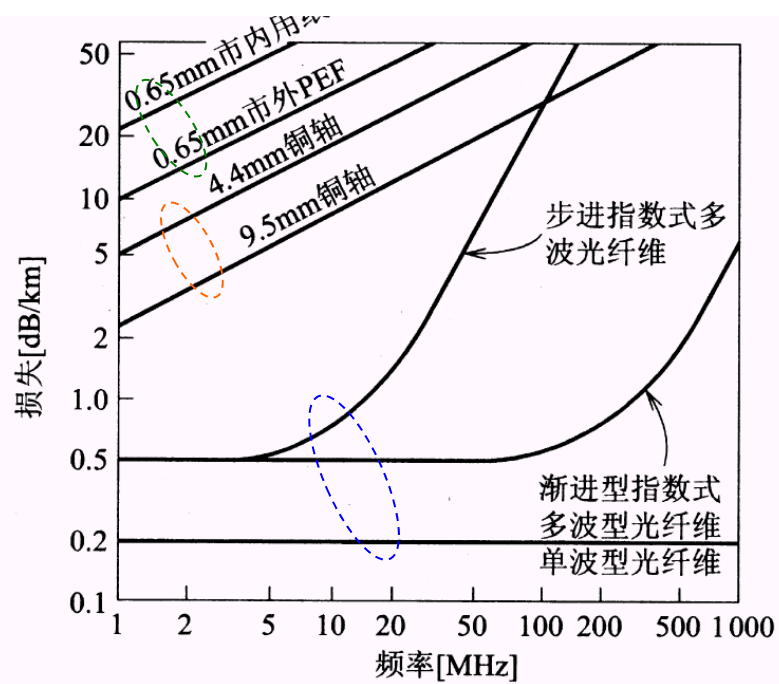
8/37

双绞线		便宜, 构造简单 传送频带宽 有漏话现象 容易混入杂音	声音频率 信号传输 用户线 低速 LAN
同轴电缆		价格稍高 传送频带宽 漏话感应少 分支, 接头容易	CATV 分配电缆 高速 LAN
光纤		低损失 频带宽 重量轻, 直径小 无感应, 无漏话	长距离大容量传输 国际间 国内城市间 高速 LAN

9/37



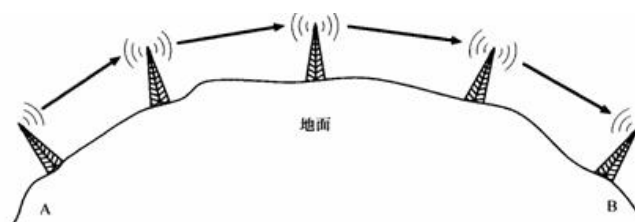
10/37



11/37

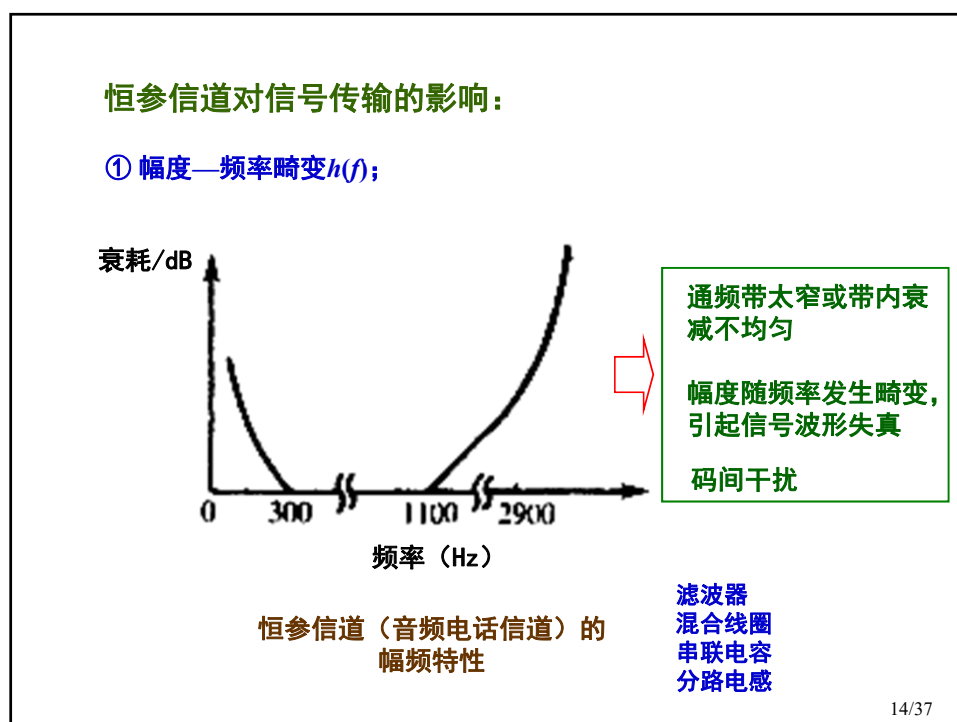
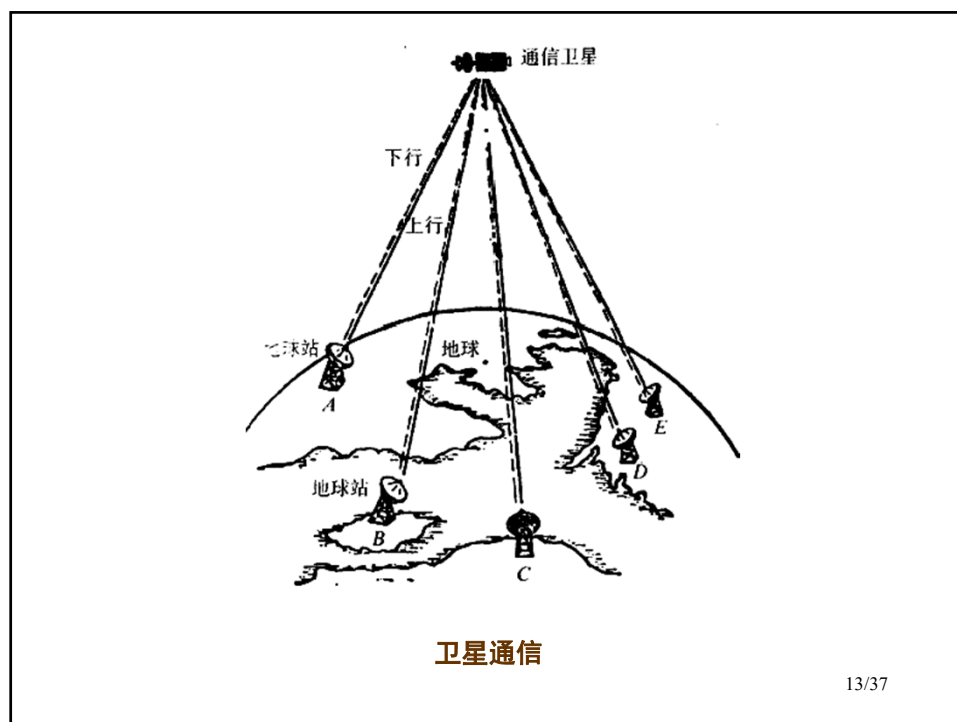
② 无线信道：

如微波视距通信，卫星中继通信。

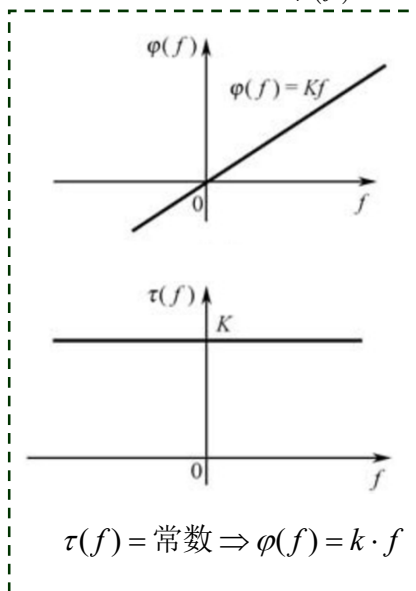


微波视距中继通信

12/37

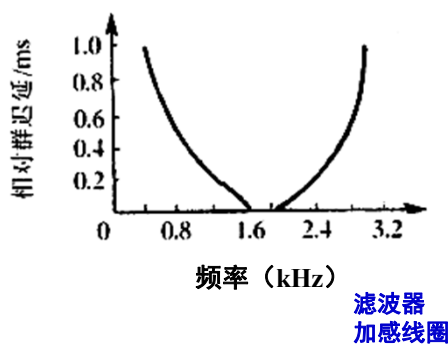


② 相位—频率畸变 $\varphi(f)$

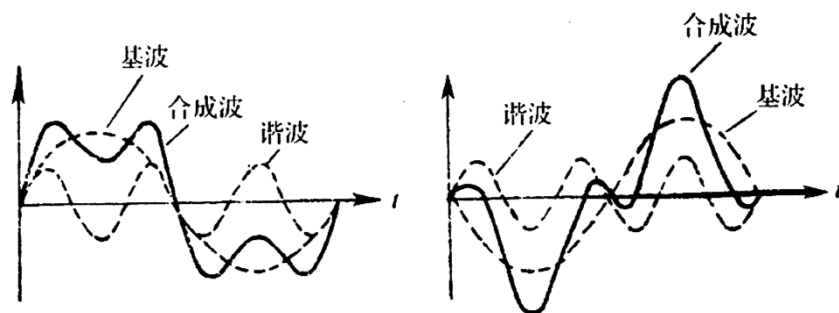


• 用群延时频率特性 $\tau(f) = \frac{d\varphi(f)}{df}$ 表示相位畸变

• 理想群时延特性为常数



15/37



群延时引起的传输失真

16/37

无失真传输条件(补充)

理想无失真传输的输出信号： $y(t) = Kx(t - t_0)$ ， K 和 t_0 是常数

对左右两边进行傅利叶变换： $Y(f) = KX(f)e^{-j2\pi ft_0}$

得到无失真传输系统的传递函数：

$$H(f) = Y(f) / X(f) = Ke^{-j2\pi ft_0}$$

因此要获得理想的无失真传输，幅频响应应该是常数，相频响应应是频率的线性函数。但若所有频率分量进行相等的放大或衰减，信号的所有频率分量还必须以相同的时延到达。

时延 t_0 与相移 θ 、角频率 $\omega = 2\pi f$ 的关系为： $t_0 = \frac{\theta(\text{rad})}{2\pi f(\text{rad/s})}$

为了实现所有频率分量以相同的时延到达，相移要和频率成正比。常用衡量信号时延特性的指标是群延迟特性，定义为：

$$\tau(f) = \frac{1}{2\pi} \frac{d\theta}{df}$$

所以若要不失真传输，相频响应是频率的线性函数等效为群延迟 $\tau(f)$ 为常数

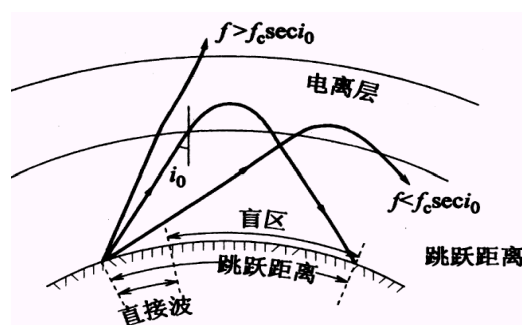
17/37

§ 3.3 随参信道及其特征

$$e_0(t) = k(t)e_i(t) + n(t)$$

随参信道的信道参数是随时随机变化的。

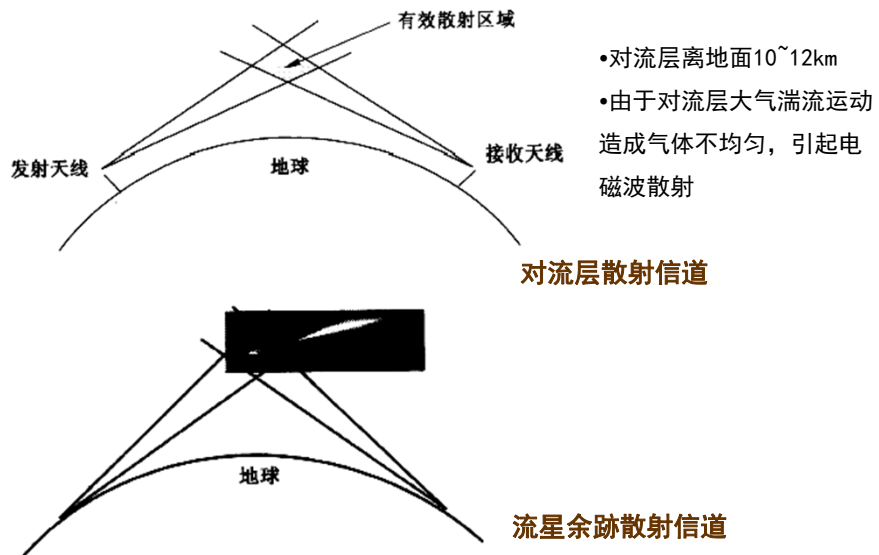
① 短波电离层反射信道；



- 长距离通信
- 短波载频3M~30MHz
- 天线尺寸要求很大
- 短波的电离层：
50Km~1000Km
- 短波存在盲区
- 对发射角有要求

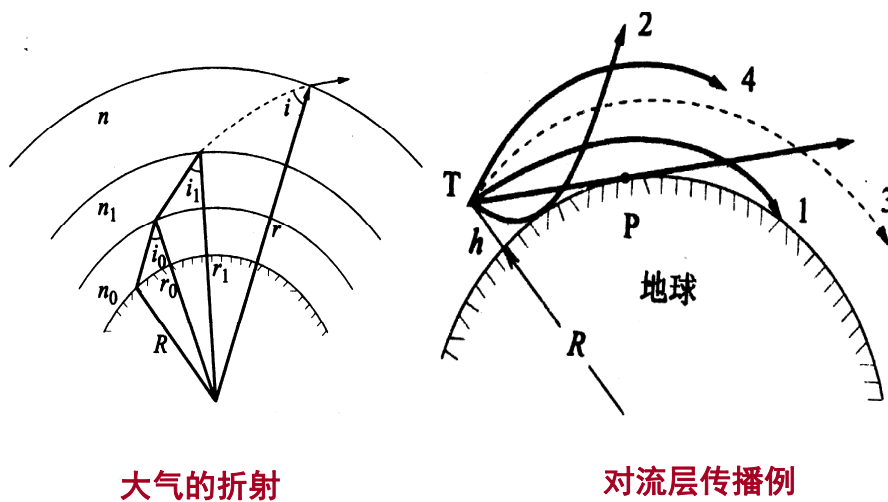
18/37

② 散射信道



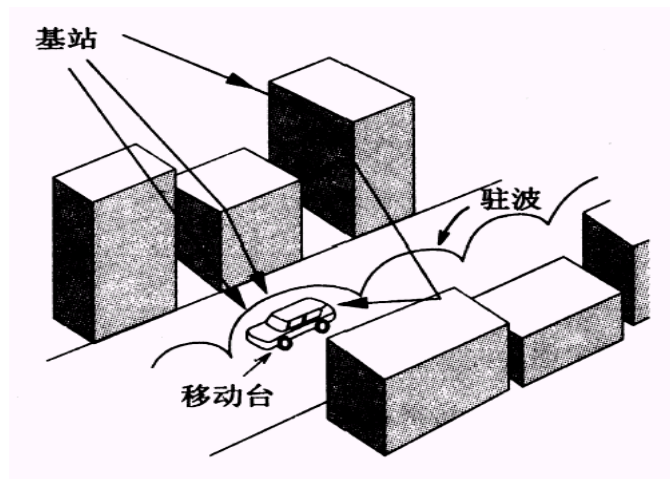
19/37

电波在对流层的传播



20/37

③ 移动通信信道；



21/37

无线信号通过移动信道时会受到各方面的衰减损失和时延，接收信号的功率可以表示为

$$P(d) \sim |d|^{-n} \cdot m(d) \cdot r_0(d)$$

- 1、自由空间的**路径损失** $|d|^{-n}$ ， n 称为路径损耗指数，一般取值在2到4之间；**(大尺度)**
- 2、**阴影衰落** $m(d)$ ，由传输环境中的地形起伏，建筑物和其它障碍物对于电波的阻挡或屏蔽所引起的衰落，一般情况下它的对数值服从正态分布，即它服从**对数正态分布**；**(中尺度)**
- 3、**多径衰落** $r_0(d)$ ，由移动环境中的多径传输而引起的衰落，一般它服从**Rayleigh分布**；**(小尺度)**

22/37

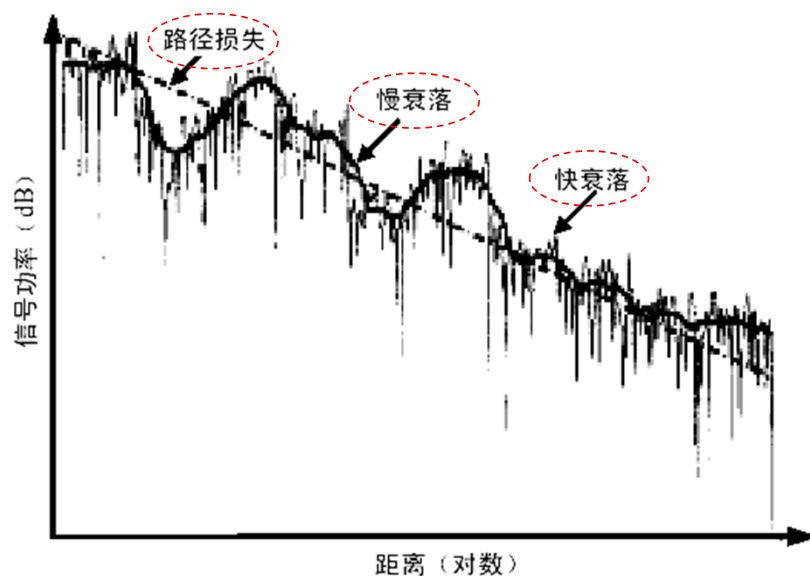


图 3.3.5 衰落信号的路径损失、慢衰落与快衰落

23/37

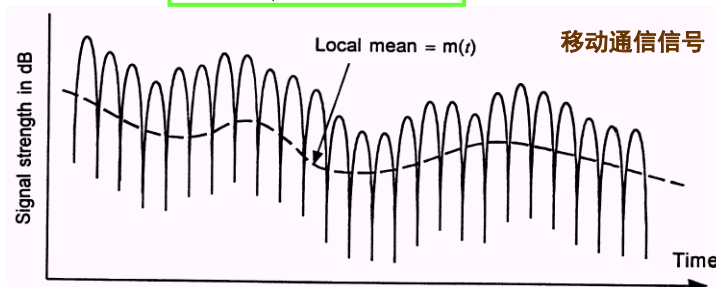
随参信道的特征:

- ① 衰耗随时变化;
- ② 传输时延随时变化;
- ③ 出现多径传播现象;

以移动通信为例分析多径传输:

基台发送: $s_0(t) = a_0 \exp\{j(2\pi f_0 t + \phi_0)\}$

接收信号幅度: $\sim \sqrt{P(d)} \cdot a_0$



24/37

小尺度衰落可以如下分析：

移动台收到信号是 N 条从散射体反射来的信号和；

$$s(t) = \sum_{i=1}^N a_i s_0(t - \tau_i)$$

$$\tau_i = \bar{\tau} + \Delta\tau_i, \text{ 其中 } \bar{\tau} = \frac{1}{N} \sum_{i=1}^N \tau_i$$

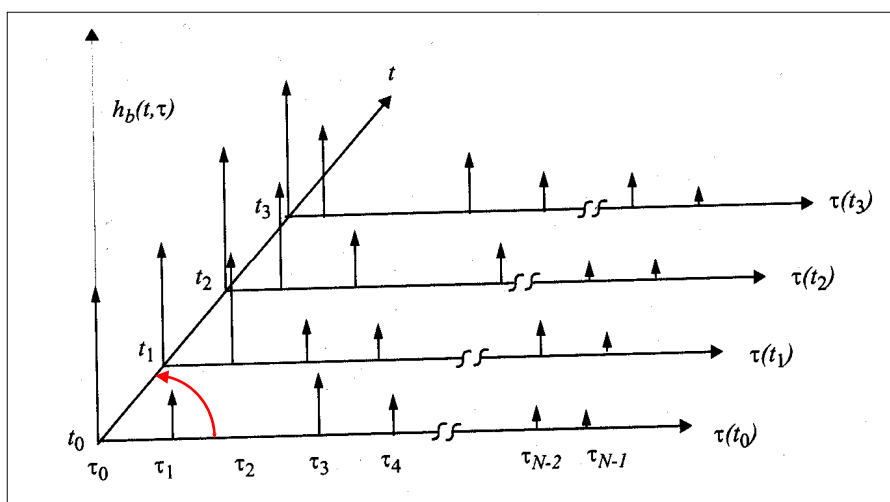
$$s(t) = x(t - \bar{\tau}) \cdot \exp[j2\pi f_0(t - \bar{\tau}) + j\phi_0]$$

$$x(t) = a_0 \left\{ \sum_{i=1}^N a_i \exp[-j2\pi f_0 \Delta\tau_i] \right\}$$

移动台和散射体都保持静止时，则 $x(t)$ 和时间无关。

25/37

多径信道的基带冲激响应模型(补充)



26/37

考虑到运动情况：

$$s(t) = x(t) \exp\{j\phi_0\} \cdot \exp\{j2\pi f_0 t\}$$

其中
$$x(t) = \sum_{i=1}^N a_i(t) \exp\{-j2\pi f_0 \tau_i(t)\}$$

令
$$R(t) = \sum_{i=1}^N a_i(t) \cos[2\pi f_0 \tau_i(t)]$$

$$S(t) = \sum_{i=1}^N a_i(t) \sin[2\pi f_0 \tau_i(t)]$$

则
$$x(t) = a_0 [R(t) - jS(t)] = A(t) \cdot e^{j\Psi(t)}$$

幅度
$$A(t) = a_0 \sqrt{R^2(t) + S^2(t)}$$

相位
$$\Psi(t) = \arctan \frac{S(t)}{R(t)}$$

- 由于 f_0 通常非常高，所以只要很小的时延就可使 $2\pi f_0 \tau_i$ 的变化非常大；
- $R(t)$ 和 $S(t)$ 都是许多小量的和，由中心极限定理， $R(t)$ 和 $S(t)$ 服从高斯分布，其矢量表示的幅度 $A(t)$ 服从 Rayleigh 分布，相位是均匀分布。

27/37

Rayleigh Distribution

- Consider a carrier signal at frequency ω_0 and with an amplitude a

$$s(t) = a \exp(j\omega_0 t)$$

- The received signal is the sum of n waves

$$s_r(t) = \sum_{i=1}^n a_i \exp(j\omega_0 t + \theta_i) = r \exp[j(\omega_0 t + \theta)] = r \exp(j\theta) \exp(j\omega_0 t)$$

where

$$r \exp(j\theta) = \sum_{i=1}^n a_i \exp(j\theta_i)$$

define

$$r \exp(j\theta) = \sum_{i=1}^n a_i \cos(\theta_i) + j \sum_{i=1}^n a_i \sin(\theta_i) = x + jy$$

We have

$$x \equiv \sum_{i=1}^n a_i \cos(\theta_i) = r \cos(\theta) \quad \text{and} \quad y \equiv \sum_{i=1}^n a_i \sin(\theta_i) = r \sin(\theta)$$

28/37

Rayleigh Distribution

- It can be assumed that x and y are Gaussian random variables with mean equal to zero due to the following reasons
 - n is usually very large.
 - The individual amplitude a_i are random.
 - The phases θ_i have a uniform distribution.
- Because x and y are independent random variables, the joint distribution $p(x,y)$ is

$$p(x,y) = p(x)p(y) = \frac{1}{2\pi\sigma^2} \exp\left(-\frac{x^2 + y^2}{2\sigma^2}\right)$$
- σ^2 is the time average power of the received signal before envelope detection
(包络检波前所接收信号包络的时间平均功率)
- σ is the rms value of the received voltage signal before envelope detection
(包络检波前所接收电压信号的均方根值)

29/37

Rayleigh Distribution

- The distribution $p(r,\theta)$ can be written as a function of $p(x,y)$

$$p(r,\theta) = |J|p(x,y)$$

$$|J| = \begin{vmatrix} \partial x / \partial r & \partial x / \partial \theta \\ \partial y / \partial r & \partial y / \partial \theta \end{vmatrix} = \begin{vmatrix} \cos \theta & -r \sin \theta \\ \sin \theta & r \cos \theta \end{vmatrix} = r$$

- We have
$$p(r,\theta) = \frac{r}{2\pi\sigma^2} \exp\left(-\frac{r^2}{2\sigma^2}\right)$$

- The Rayleigh distribution has a pdf given by

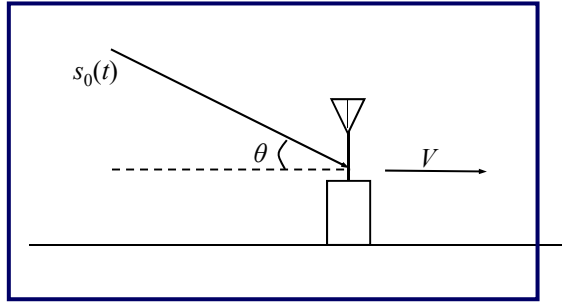
$$p(r) = \int_0^{2\pi} p(r,\theta) d\theta = \begin{cases} \frac{r}{\sigma^2} \exp\left(-\frac{r^2}{2\sigma^2}\right) & r \geq 0 \\ 0 & \text{otherwise} \end{cases}$$

30/37

当接收机运动时，还会产生多普勒频移

若发射信号为 $s_0(t) = a_0 \exp[j2\pi f_0 t + \phi_0]$

则收到信号为 $s(t) = a_0 \exp\left[j\left(2\pi f_0 t + \phi_0 - 2\pi \cdot \frac{V}{\lambda} t \cdot \cos \theta\right)\right]$



多普勒频移

$$f_d = \frac{V}{\lambda} \cos \theta$$

31/37

考虑到接收机的运动，则由各散射体引起的总信号为：

$$\begin{aligned} x(t) &= \sum_{i=1}^N a_0 a_i(t) \exp\left\{j\left(2\pi f_0 t + \phi_0 - 2\pi \frac{V}{\lambda} t \cos \theta_i + \phi_i(t)\right)\right\} \\ &= A_T(t) \exp(j\Psi_T(t)) \cdot \exp\{j(2\pi f_0 t + \phi_0)\} \end{aligned}$$

$$\text{其中 } A_T(t) = \left\{ \left[a_0 \sum_{i=1}^N a_i(t) \cos \psi_i(t) \right]^2 + \left[a_0 \sum_{i=1}^N a_i(t) \sin \psi_i(t) \right]^2 \right\}^{1/2}$$

$$\Psi_T(t) = \arctan \frac{\sum_{i=1}^N a_i(t) \sin \psi_i(t)}{\sum_{i=1}^N a_i(t) \cos \psi_i(t)}$$

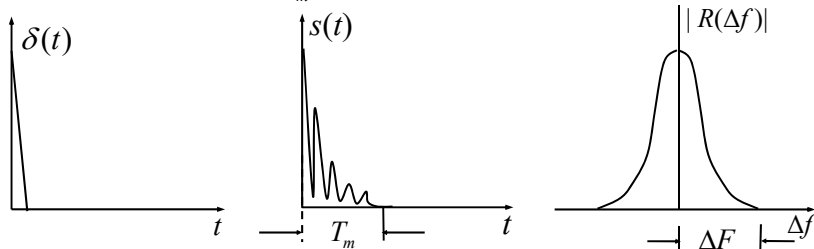
$$\psi_i(t) = \phi_i(t) - 2\pi \frac{V}{\lambda} t \cos \theta_i$$

32/37

多径传输还会引起信号的**时间展宽**和**频谱展宽**

① 信号的时间展宽：

脉冲宽度被明显展宽， T_m 表示**多径的延时时间差**。



多径传输引起的信号时间展宽

间隔频率相关函数

$R(\Delta f)$ 表示**信道的频率传递函数**， $R(\Delta f)$ 描述多径传输对于二个频差为 Δf 的信号响应的相关性

相干带宽： $\Delta F = \frac{1}{T_m}$

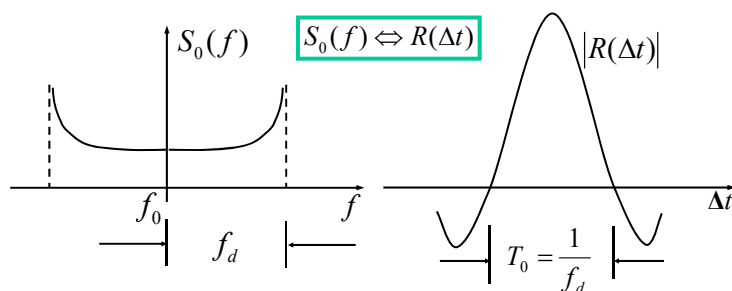
$W < \Delta F$ 频率非选择性衰落

$W > \Delta F$ 频率选择性衰落

33/37

② 信号的频谱展宽

设发送一个单频信号 $s(t) = A \cos 2\pi f_0 t$ ，对于移动接收来说，由于不同方向的反射体反射回来的信号具有不同的多普勒频移，所以接收到的信号 $s_0(t)$ 的频谱展宽。



接收信号的频谱扩展

间隔时间相关函数

$R(\Delta t)$ 描述多径传输对于二个时差为 Δt 的信号响应的相关性。**相干时宽** T_0 提供了信道衰落的快慢。通信信号的持续时间小于相干时宽 T_0 ，则可以认为在通信过程中信道参数是不变的。

34/37

多普勒功率谱密度分析

设移动接收机的速度为 V ，基站发送的是频率为 f_0 、波长为 λ 的无调制连续波。散射信号入射角为 θ 时，接收信号的多普勒频移为：

$$f_d = V \cos \theta / \lambda = f_m \cos \theta, \quad f_m = V / \lambda$$

若接收天线是全向的，则接收信号中入射角在 $(\theta, \theta + d\theta)$ 中的信号分量的功率为 $P_{av} |d\theta| / 2\pi$ ，其中 P_{av} 为平均接收到的总功率。

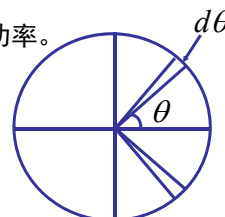
从 θ 和从 $-\theta$ 方向入射的电波具有相同的多普勒频移，

$$f = f_0 + f_m \cos \theta$$

入射角从 $\theta \rightarrow \theta + d\theta$ 时，相应频率从 $f \rightarrow f + df$

接收到信号的功率谱为 $S(f)$ ，在频率范围 $(f, f + df)$ 中的信号功率为

$$S(f) |df| = \frac{2P_{av}}{2\pi} |d\theta| \quad \longrightarrow \quad S(f) = \frac{P_{av}}{\pi} \cdot \left| \frac{d\theta}{df} \right|$$



35/37

因为

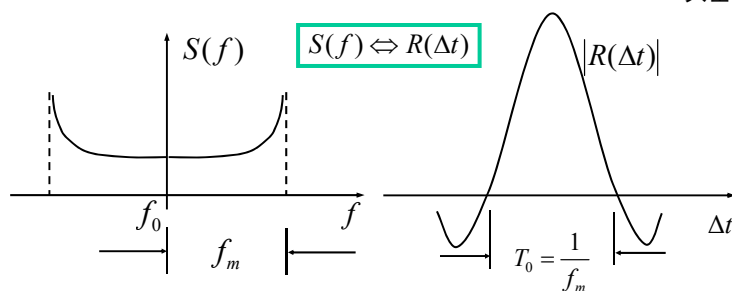
$$df = -f_m \sin \theta \cdot d\theta$$

$$\sin \theta = \sqrt{1 - \cos^2 \theta} = \sqrt{1 - \left(\frac{f - f_0}{f_m} \right)^2}$$

所以

$$S(f) = \frac{P_{av}}{\pi} \cdot \left| \frac{d\theta}{df} \right| \quad \longrightarrow \quad S(f) = \frac{P_{av}}{\pi} \left[f_m^2 - (f - f_0)^2 \right]^{-1/2}$$

$$R(\Delta t) = \int_{-\infty}^{\infty} S(f) \cdot e^{j2\pi f \Delta t} df = J_0(2\pi f_m \cdot \Delta t) \quad \longleftarrow \quad \text{第一类零阶贝塞尔函数}$$



36/37

<p>相干带宽: $\Delta F = \frac{1}{T_m}$</p>	<p>$W < \Delta F$ 频率非选择性衰落信道 (平衰落信道)</p> <p>$W > \Delta F$ 频率选择性衰落信道</p>
<p>为什么相干带宽是由多径的时延特点决定的?</p>	<ul style="list-style-type: none"> • 无线信道的冲激响应与它的幅度频率响应呈傅里叶变换对关系 • 由无线信道的幅度频率响应可以计算无线信道的频率相关函数

补充内容:

<p>相干时宽: $T_0 = \frac{1}{f_m}$</p>	<p>$T_s < T_0$ 慢衰落信道</p> <p>$T_s > T_0$ 快衰落信道</p> <p>T_s: 符号周期</p>
<p>为什么相干时宽是由多普勒频移特点决定的?</p>	<ul style="list-style-type: none"> • 功率谱密度与时域的自相关函数呈傅里叶变换对关系 • 由时域的自相关函数可以计算时域的相关特性

37/37

习 题

✿ 3.3

✿ 3.9

✿ 3.10